

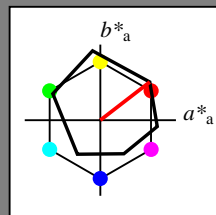
Eingabe: Farbmétrisches Offset-Reflektiv-System ORS18

für Buntton $h^* = lab^*h = 38/360 = 0.105$ lab^*tch und lab^*nch

D65: Buntton O

LCH*Ma: 48 83 38

olv*Ma: 1.0 0.0 0.0



ORS18; adaptierte CIELAB-Daten

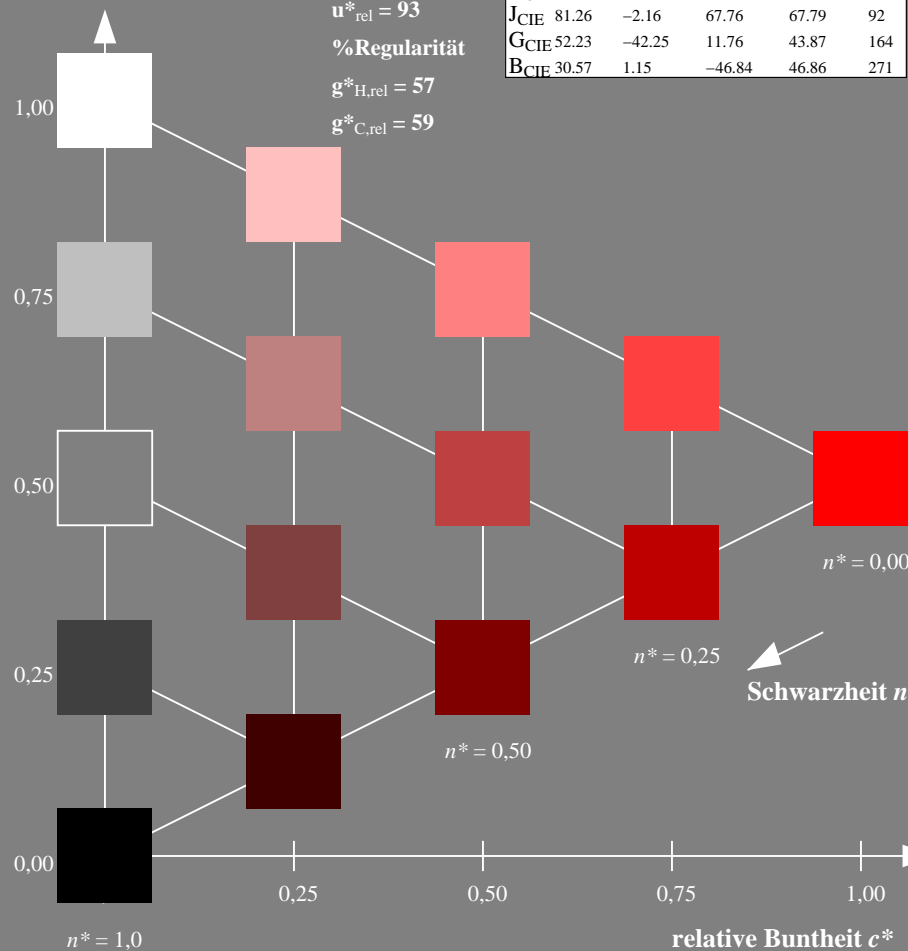
	$L^*=L^*_a$	a^*_a	b^*_a	$C^*_{ab,a}$	$h^*_{ab,a}$
O _m	47.94	65.39	50.52	82.63	38
Y _m	90.37	-10.26	91.75	92.32	96
L _m	50.9	-62.83	34.96	71.91	151
C _m	58.62	-30.34	-45.01	54.3	236
V _m	25.72	31.1	-44.4	54.22	305
M _m	48.13	75.28	-8.36	75.74	354
N _m	18.01	0.0	0.0	0.0	0
W _m	95.41	0.0	0.0	0.0	0
R _{CIE}	39.92	58.66	26.98	64.57	25
J _{CIE}	81.26	-2.16	67.76	67.79	92
G _{CIE}	52.23	-42.25	11.76	43.87	164
B _{CIE}	30.57	1.15	-46.84	46.86	271

Dreiecks-Helligkeit t^*

%Umfang

 $u^*_{rel} = 93$

%Regularität

 $g^*_{H,rel} = 57$ $g^*_{C,rel} = 59$ 

NG210-7, 5 stufige Reihen für konstanten CIELAB Buntton 38/360 = 0.105 (links)

BAM-Prüfvorlage NG21; Farbmétrik-Systeme ORS18 & ORS18input: olv* setrgbcolor

D65: Koordinatensysteme; 5stufige Farbreihen für 10 Bunttöne output: Startup (S) data dependend

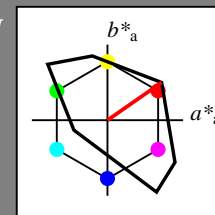
Ausgabe: Farbmétrisches Fernseh-Licht-System TLS18

für Buntton $h^* = lab^*h = 35/360 = 0.097$ LAB^*LCH, LAB^*NCH

D65: Buntton O

LCH*Ma: 53 87 35

olv*Ma: 1.0 0.0 0.0



TLS18; adaptierte CIELAB-Daten

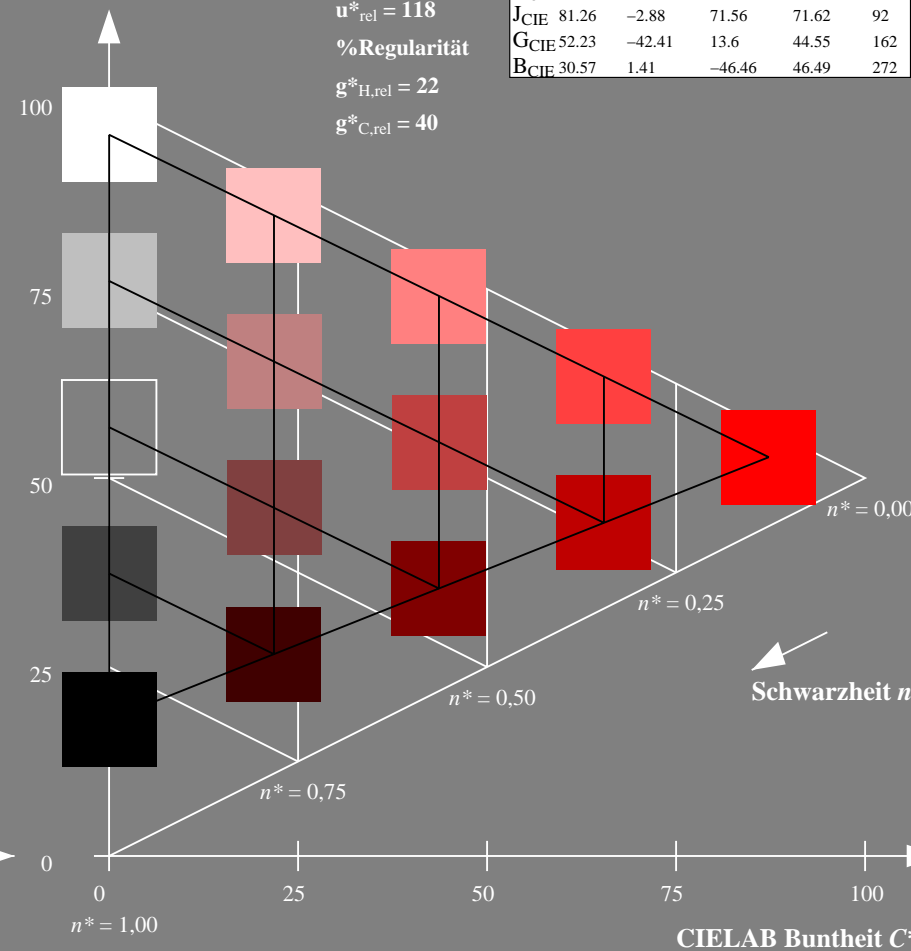
	$L^*=L^*_a$	a^*_a	b^*_a	$C^*_{ab,a}$	$h^*_{ab,a}$
O _m	52.76	71.63	49.88	87.29	35
Y _m	92.74	-20.02	84.97	87.3	103
L _m	84.0	-78.98	73.94	108.2	137
C _m	87.14	-44.41	-13.11	46.32	196
V _m	35.47	64.92	-95.06	115.12	304
M _m	59.01	89.33	-55.67	105.26	328
N _m	18.01	0.0	0.0	0.0	0
W _m	95.41	0.0	0.0	0.0	0
R _{CIE}	39.92	58.74	27.99	65.07	25
J _{CIE}	81.26	-2.88	71.56	71.62	92
G _{CIE}	52.23	-42.41	13.6	44.55	162
B _{CIE}	30.57	1.41	-46.46	46.49	272

CIELAB-Helligkeit L^*

%Umfang

 $u^*_{rel} = 118$

%Regularität

 $g^*_{H,rel} = 22$ $g^*_{C,rel} = 40$ 

5 stufige Reihen für konstanten CIELAB Buntton 35/360 = 0.097 (rechts)

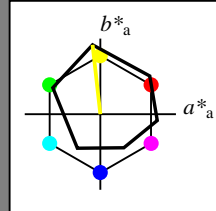
Eingabe: Farbmatisches Offset-Reflektiv-System ORS18

für Buntton $h^* = lab \cdot h = 96/360 = 0.268$ $lab \cdot tch$ und $lab \cdot nch$

D65: Buntton Y

LCH*Ma: 90 92 96

olv*Ma: 1.0 1.0 0.0



ORS18; adaptierte CIELAB-Daten

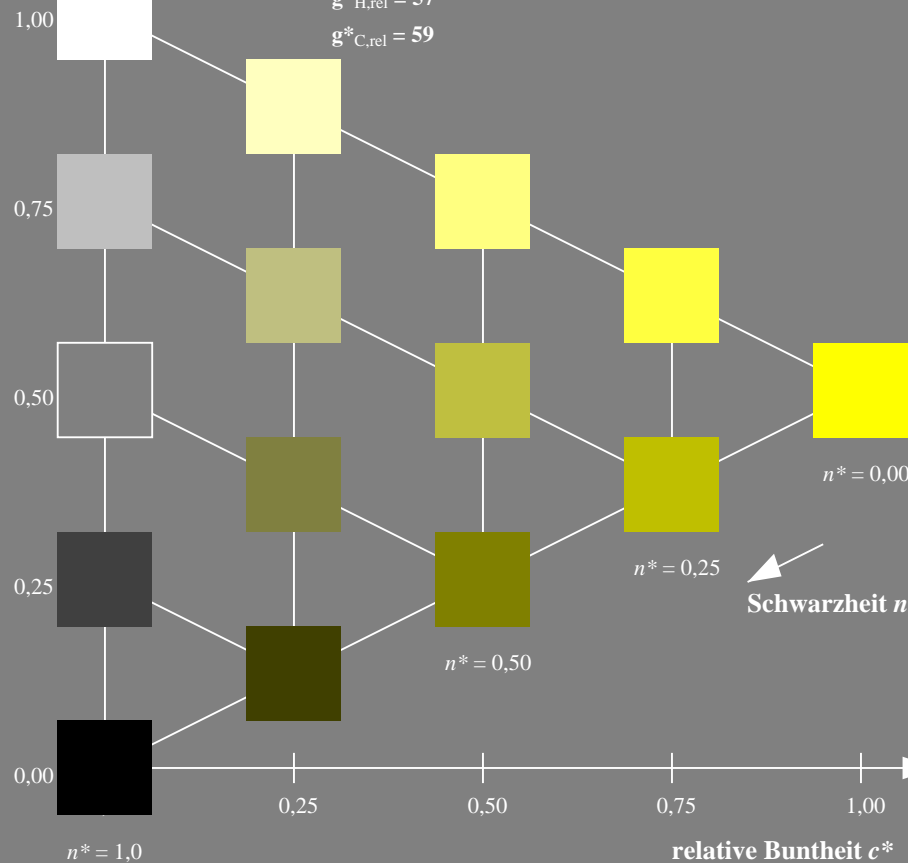
	$L^*=L^*_a$	a^*_a	b^*_a	$C^*_{ab,a}$	$h^*_{ab,a}$
O _m	47.94	65.39	50.52	82.63	38
Y _m	90.37	-10.26	91.75	92.32	96
L _m	50.9	-62.83	34.96	71.91	151
C _m	58.62	-30.34	-45.01	54.3	236
V _m	25.72	31.1	-44.4	54.22	305
M _m	48.13	75.28	-8.36	75.74	354
N _m	18.01	0.0	0.0	0.0	0
W _m	95.41	0.0	0.0	0.0	0
R _{CIE}	39.92	58.66	26.98	64.57	25
J _{CIE}	81.26	-2.16	67.76	67.79	92
G _{CIE}	52.23	-42.25	11.76	43.87	164
B _{CIE}	30.57	1.15	-46.84	46.86	271

Dreiecks-Helligkeit t^*

%Umfang

 $u^*_{rel} = 93$

%Regularität

 $g^*_{H,rel} = 57$ $g^*_{C,rel} = 59$ NG210-7, 5 stufige Reihen für konstanten CIELAB Buntton $96/360 = 0.268$ (links)

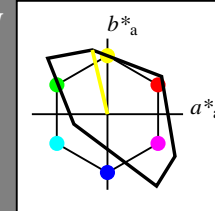
Ausgabe: Farbmatisches Fernseh-Licht-System TLS18

für Buntton $h^* = lab \cdot h = 103/360 = 0.287$ $LAB \cdot LCH$, $LAB \cdot NCH$

D65: Buntton Y

LCH*Ma: 93 87 103

olv*Ma: 1.0 1.0 0.0



TLS18; adaptierte CIELAB-Daten

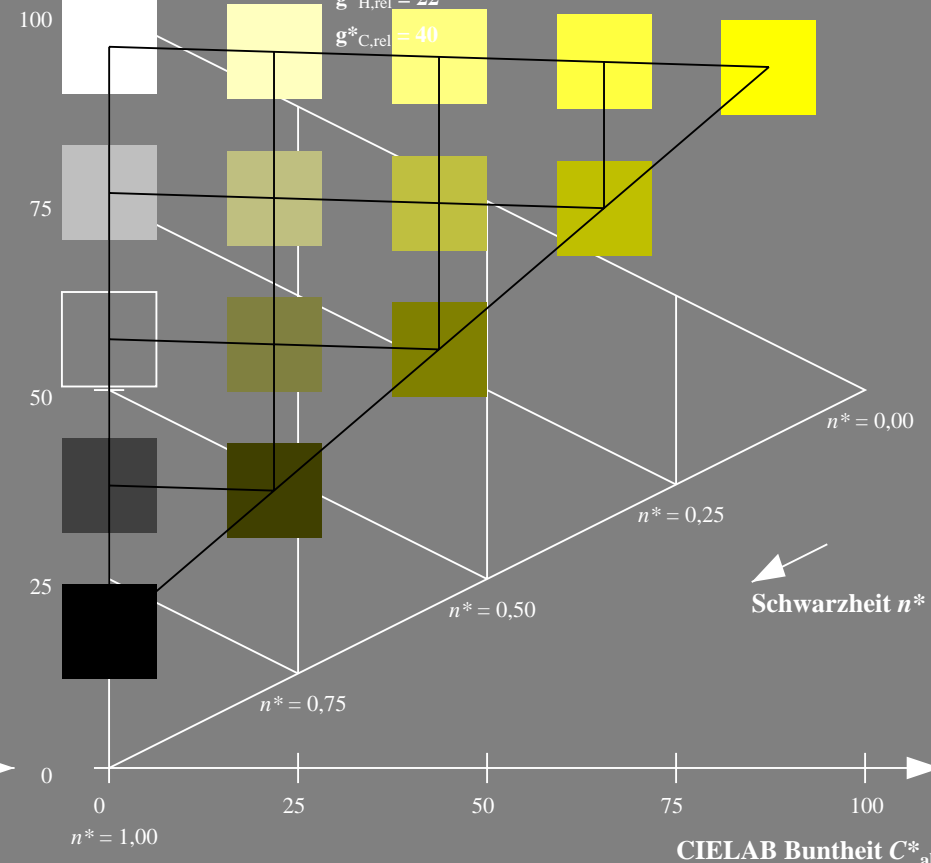
	$L^*=L^*_a$	a^*_a	b^*_a	$C^*_{ab,a}$	$h^*_{ab,a}$
O _m	52.76	71.63	49.88	87.29	35
Y _m	92.74	-20.02	84.97	87.3	103
L _m	84.0	-78.98	73.94	108.2	137
C _m	87.14	-44.41	-13.11	46.32	196
V _m	35.47	64.92	-95.06	115.12	304
M _m	59.01	89.33	-55.67	105.26	328
N _m	18.01	0.0	0.0	0.0	0
W _m	95.41	0.0	0.0	0.0	0
R _{CIE}	39.92	58.74	27.99	65.07	25
J _{CIE}	81.26	-2.88	71.56	71.62	92
G _{CIE}	52.23	-42.41	13.6	44.55	162
B _{CIE}	30.57	1.41	-46.46	46.49	272

CIELAB-Helligkeit L^*

%Umfang

 $u^*_{rel} = 118$

%Regularität

 $g^*_{H,rel} = 22$ $g^*_{C,rel} = 40$ 5 stufige Reihen für konstanten CIELAB Buntton $103/360 = 0.287$ (rechts)

BAM-Prüfvorlage NG21; Farbmatrik-Systeme ORS18 & ORS18input: olv* setrgbcolor

D65: Koordinatensysteme; 5stufige Farbreihen für 10 Bunttöne output: Startup (S) data dependend

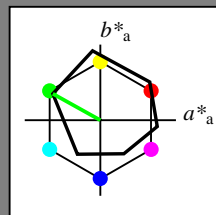
Eingabe: Farbmimetrisches Offset-Reflektiv-System ORS18

für Buntton $h^* = lab \cdot h = 151/360 = 0.419$ $lab \cdot tch$ und $lab \cdot nch$

D65: Buntton L

LCH*Ma: 51 72 151

olv*Ma: 0.0 1.0 0.0



ORS18; adaptierte CIELAB-Daten

	$L^*=L^*_a$	a^*_a	b^*_a	$C^*_{ab,a}$	$h^*_{ab,a}$
O _m	47.94	65.39	50.52	82.63	38
Y _m	90.37	-10.26	91.75	92.32	96
L _m	50.9	-62.83	34.96	71.91	151
C _m	58.62	-30.34	-45.01	54.3	236
V _m	25.72	31.1	-44.4	54.22	305
M _m	48.13	75.28	-8.36	75.74	354
N _m	18.01	0.0	0.0	0.0	0
W _m	95.41	0.0	0.0	0.0	0
R _{CIE}	39.92	58.66	26.98	64.57	25
J _{CIE}	81.26	-2.16	67.76	67.79	92
G _{CIE}	52.23	-42.25	11.76	43.87	164
B _{CIE}	30.57	1.15	-46.84	46.86	271

Dreiecks-Helligkeit t^*

1,00

0,75

0,50

0,25

0,00

0,25

0,50

0,75

1,00

0,25

0,50

0,75

1,00

0,25

0,50

0,75

1,00

0,25

0,50

0,75

1,00

0,25

0,50

0,75

1,00

0,25

0,50

0,75

1,00

%Umfang

 $u^*_{rel} = 93$

%Regularität

 $g^*_{H,rel} = 57$ $g^*_{C,rel} = 59$

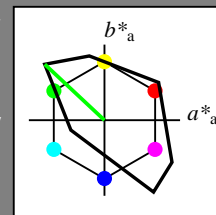
Ausgabe: Farbmimetrisches Fernseh-Licht-System TLS18

für Buntton $h^* = lab \cdot h = 137/360 = 0.38$ $LAB \cdot LCH$, $LAB \cdot NCH$

D65: Buntton L

LCH*Ma: 84 108 137

olv*Ma: 0.0 1.0 0.0

CIELAB-Helligkeit L^*

100

75

50

25

0,25

0,50

0,75

1,00

0,25

0,50

0,75

1,00

0,25

0,50

0,75

1,00

0,25

0,50

0,75

1,00

0,25

0,50

0,75

1,00

0,25

0,50

0,75

1,00

%Umfang

 $u^*_{rel} = 118$

%Regularität

 $g^*_{H,rel} = 22$ $g^*_{C,rel} = 40$

TLS18; adaptierte CIELAB-Daten

	$L^*=L^*_a$	a^*_a	b^*_a	$C^*_{ab,a}$	$h^*_{ab,a}$
O _m	52.76	71.63	49.88	87.29	35
Y _m	92.74	-20.02	84.97	87.3	103
L _m	84.0	-78.98	73.94	108.2	137
C _m	87.14	-44.41	-13.11	46.32	196
V _m	35.47	64.92	-95.06	115.12	304
M _m	59.01	89.33	-55.67	105.26	328
N _m	18.01	0.0	0.0	0.0	0
W _m	95.41	0.0	0.0	0.0	0
R _{CIE}	39.92	58.74	27.99	65.07	25
J _{CIE}	81.26	-2.88	71.56	71.62	92
G _{CIE}	52.23	-42.41	13.6	44.55	162
B _{CIE}	30.57	1.41	-46.46	46.49	272

100

75

50

25

0,25

0,50

0,75

1,00

0,25

0,50

0,75

1,00

0,25

0,50

0,75

1,00

0,25

0,50

0,75

1,00

0,25

0,50

0,75

1,00

0,25

0,50

0,75

1,00

%Umfang

 $u^*_{rel} = 118$

%Regularität

 $g^*_{H,rel} = 22$ $g^*_{C,rel} = 40$

%Umfang

 $u^*_{rel} = 118$

%Regularität

 $g^*_{H,rel} = 22$ $g^*_{C,rel} = 40$ $n^* = 0,00$ $n^* = 0,25$ $n^* = 0,50$ $n^* = 0,75$ $n^* = 1,00$ $n^* = 0,00$ $n^* = 0,25$ $n^* = 0,50$ $n^* = 0,75$ $n^* = 1,00$ $n^* = 0,00$ $n^* = 0,25$ $n^* = 0,50$ $n^* = 0,75$ $n^* = 1,00$ $n^* = 0,00$ $n^* = 0,25$ $n^* = 0,50$ $n^* = 0,75$ $n^* = 1,00$ $n^* = 0,00$ $n^* = 0,25$ $n^* = 0,50$ $n^* = 0,75$ $n^* = 1,00$ Schwarzheit n^* Schwarzheit n^*

NG210-7, 5 stufige Reihen für konstanten CIELAB Buntton 151/360 = 0.419 (links)

5 stufige Reihen für konstanten CIELAB Buntton 137/360 = 0.38 (rechts)

BAM-Prüfvorlage NG21; Farbmimetrik-Systeme ORS18 & ORS18input: olv* setrgbcolor

D65: Koordinatensysteme; 5stufige Farbreihen für 10 Bunttöne output: Startup (S) data dependend

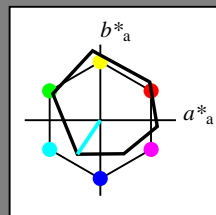
Eingabe: Farbmatisches Offset-Reflektiv-System ORS18

für Buntton $h^* = lab^*h = 236/360 = 0.656$ lab^*tch und lab^*nch

D65: Buntton C

LCH*Ma: 59 54 236

olv*Ma: 0.0 1.0 1.0



ORS18; adaptierte CIELAB-Daten

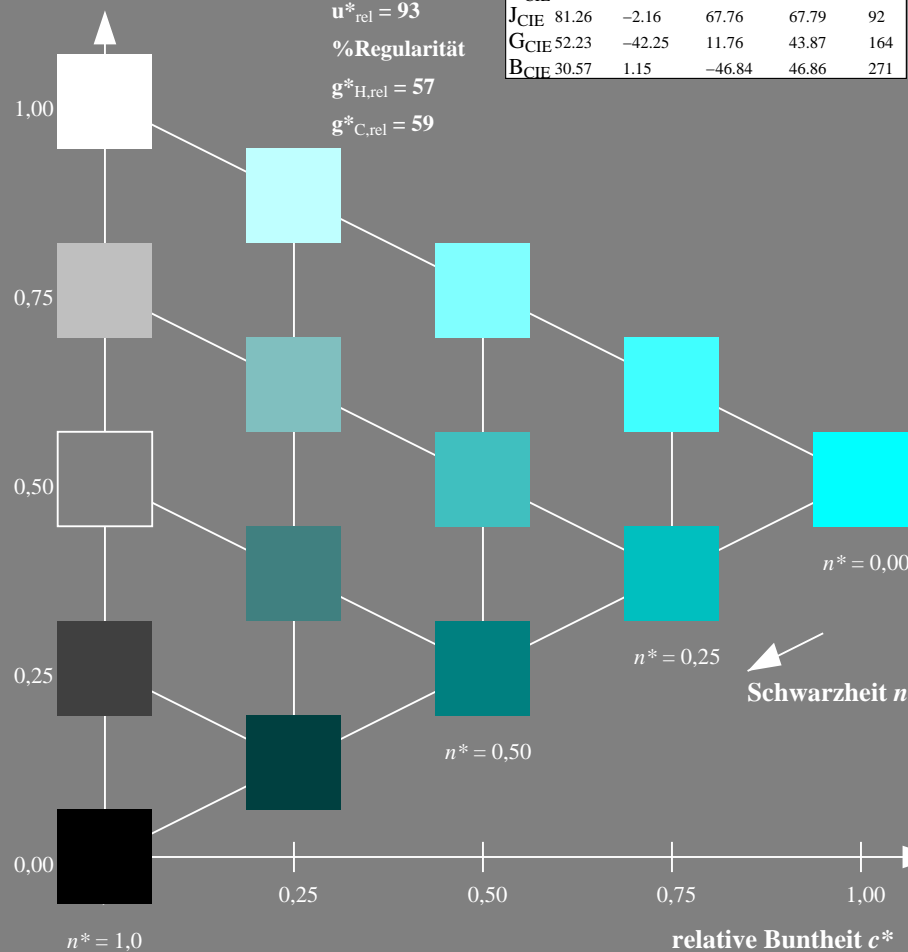
	$L^*=L^*_a$	a^*_a	b^*_a	$C^*_{ab,a}$	$h^*_{ab,a}$
O _m	47.94	65.39	50.52	82.63	38
Y _m	90.37	-10.26	91.75	92.32	96
L _m	50.9	-62.83	34.96	71.91	151
C _m	58.62	-30.34	-45.01	54.3	236
V _m	25.72	31.1	-44.4	54.22	305
M _m	48.13	75.28	-8.36	75.74	354
N _m	18.01	0.0	0.0	0.0	0
W _m	95.41	0.0	0.0	0.0	0
R _{CIE}	39.92	58.66	26.98	64.57	25
J _{CIE}	81.26	-2.16	67.76	67.79	92
G _{CIE}	52.23	-42.25	11.76	43.87	164
B _{CIE}	30.57	1.15	-46.84	46.86	271

Dreiecks-Helligkeit t^*

%Umfang

 $u^*_{rel} = 93$

%Regularität

 $g^*_{H,rel} = 57$ $g^*_{C,rel} = 59$ NG210-7, 5 stufige Reihen für konstanten CIELAB Buntton $236/360 = 0.656$ (links)

BAM-Prüfvorlage NG21; Farbmatrik-Systeme ORS18 & ORS18input: olv* setrgbcolor

D65: Koordinatensysteme; 5stufige Farbreihen für 10 Bunttöne output: Startup (S) data dependend

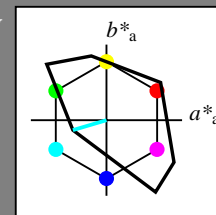
Ausgabe: Farbmatisches Fernseh-Licht-System TLS18

für Buntton $h^* = lab^*h = 196/360 = 0.546$ LAB^*LCH , LAB^*NCH

D65: Buntton C

LCH*Ma: 87 46 196

olv*Ma: 0.0 1.0 1.0



TLS18; adaptierte CIELAB-Daten

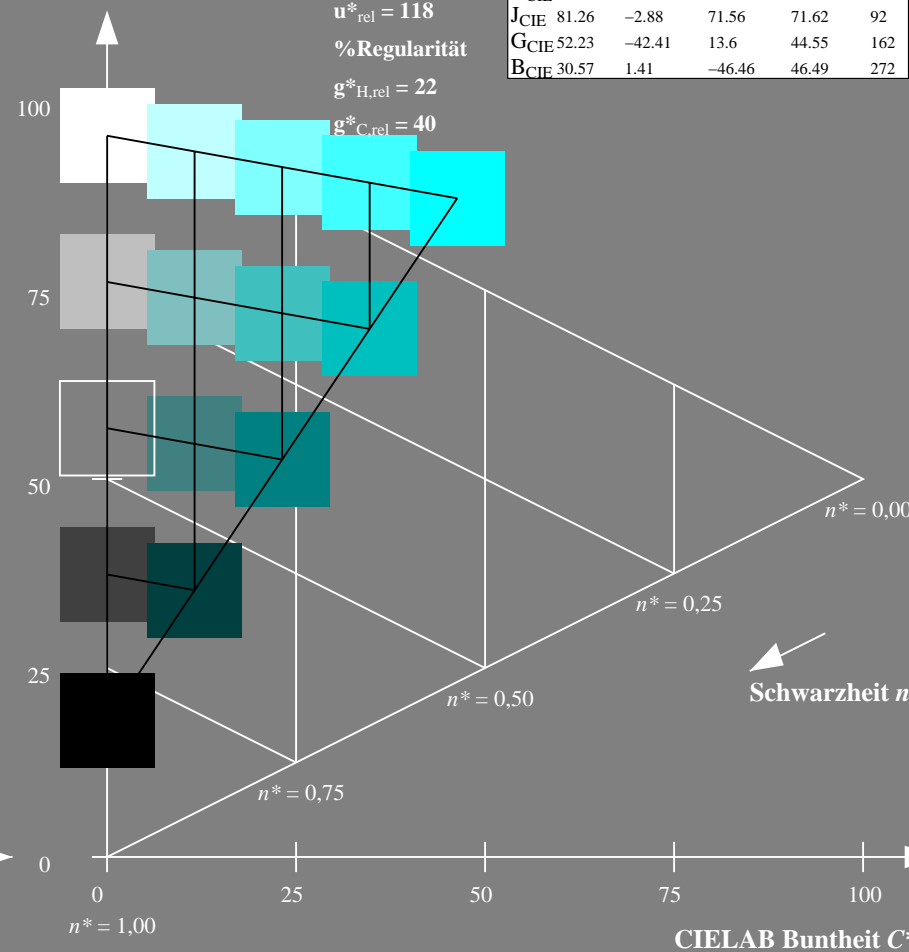
	$L^*=L^*_a$	a^*_a	b^*_a	$C^*_{ab,a}$	$h^*_{ab,a}$
O _m	52.76	71.63	49.88	87.29	35
Y _m	92.74	-20.02	84.97	87.3	103
L _m	84.0	-78.98	73.94	108.2	137
C _m	87.14	-44.41	-13.11	46.32	196
V _m	35.47	64.92	-95.06	115.12	304
M _m	59.01	89.33	-55.67	105.26	328
N _m	18.01	0.0	0.0	0.0	0
W _m	95.41	0.0	0.0	0.0	0
R _{CIE}	39.92	58.74	27.99	65.07	25
J _{CIE}	81.26	-2.88	71.56	71.62	92
G _{CIE}	52.23	-42.41	13.6	44.55	162
B _{CIE}	30.57	1.41	-46.46	46.49	272

CIELAB-Helligkeit L^*

%Umfang

 $u^*_{rel} = 118$

%Regularität

 $g^*_{H,rel} = 22$ $g^*_{C,rel} = 40$ 5 stufige Reihen für konstanten CIELAB Buntton $196/360 = 0.546$ (rechts)

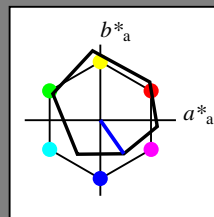
Eingabe: Farbmétrisches Offset-Reflektiv-System ORS18

für Buntton $h^* = lab \cdot h = 305/360 = 0.847$ $lab \cdot tch$ und $lab \cdot nch$

D65: Buntton V

LCH*Ma: 26 54 305

olv*Ma: 0.0 0.0 1.0



ORS18; adaptierte CIELAB-Daten

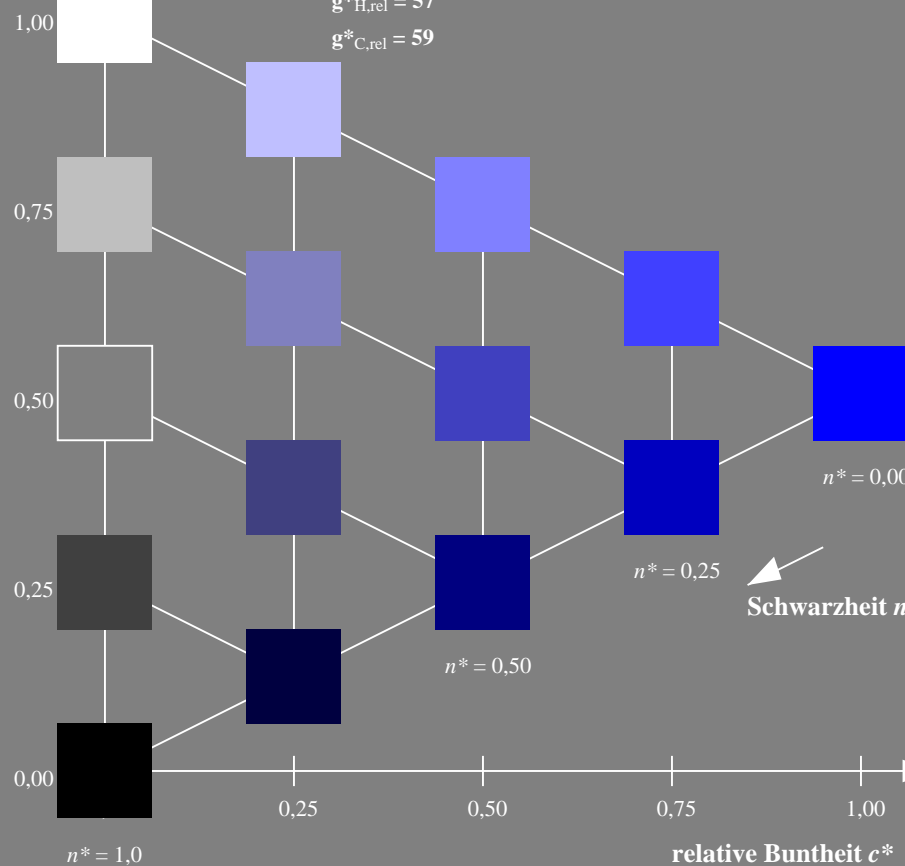
	$L^*=L^*_a$	a^*_a	b^*_a	$C^*_{ab,a}$	$h^*_{ab,a}$
O _m	47.94	65.39	50.52	82.63	38
Y _m	90.37	-10.26	91.75	92.32	96
L _m	50.9	-62.83	34.96	71.91	151
C _m	58.62	-30.34	-45.01	54.3	236
V _m	25.72	31.1	-44.4	54.22	305
M _m	48.13	75.28	-8.36	75.74	354
N _m	18.01	0.0	0.0	0.0	0
W _m	95.41	0.0	0.0	0.0	0
R _{CIE}	39.92	58.66	26.98	64.57	25
J _{CIE}	81.26	-2.16	67.76	67.79	92
G _{CIE}	52.23	-42.25	11.76	43.87	164
B _{CIE}	30.57	1.15	-46.84	46.86	271

Dreiecks-Helligkeit t^*

%Umfang

 $u^*_{rel} = 93$

%Regularität

 $g^*_{H,rel} = 57$ $g^*_{C,rel} = 59$ 

NG210-7, 5 stufige Reihen für konstanten CIELAB Buntton 305/360 = 0.847 (links)

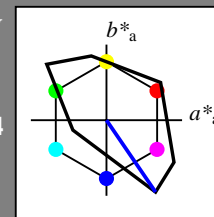
Ausgabe: Farbmétrisches Fernseh-Licht-System TLS18

für Buntton $h^* = lab \cdot h = 304/360 = 0.845$ $LAB \cdot LCH$, $LAB \cdot NCH$

D65: Buntton V

LCH*Ma: 35 115 304

olv*Ma: 0.0 0.0 1.0



TLS18; adaptierte CIELAB-Daten

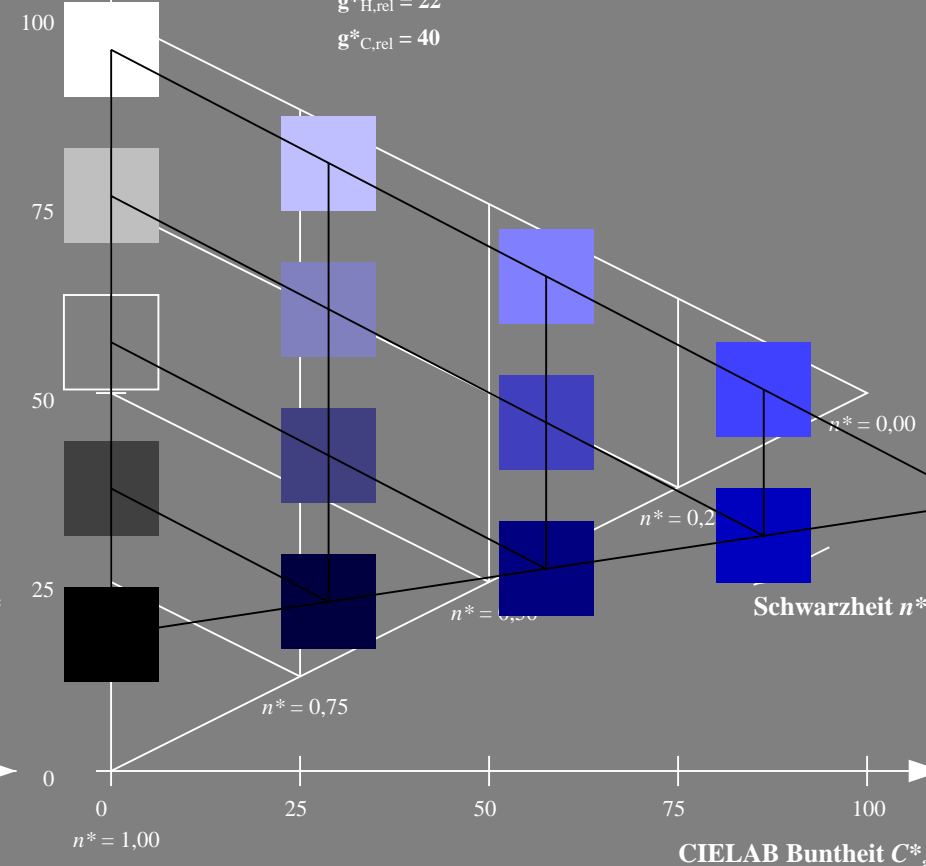
	$L^*=L^*_a$	a^*_a	b^*_a	$C^*_{ab,a}$	$h^*_{ab,a}$
O _m	52.76	71.63	49.88	87.29	35
Y _m	92.74	-20.02	84.97	87.3	103
L _m	84.0	-78.98	73.94	108.2	137
C _m	87.14	-44.41	-13.11	46.32	196
V _m	35.47	64.92	-95.06	115.12	304
M _m	59.01	89.33	-55.67	105.26	328
N _m	18.01	0.0	0.0	0.0	0
W _m	95.41	0.0	0.0	0.0	0
R _{CIE}	39.92	58.74	27.99	65.07	25
J _{CIE}	81.26	-2.88	71.56	71.62	92
G _{CIE}	52.23	-42.41	13.6	44.55	162
B _{CIE}	30.57	1.41	-46.46	46.49	272

CIELAB-Helligkeit L^*

%Umfang

 $u^*_{rel} = 118$

%Regularität

 $g^*_{H,rel} = 22$ $g^*_{C,rel} = 40$ 

5 stufige Reihen für konstanten CIELAB Buntton 304/360 = 0.845 (rechts)

BAM-Prüfvorlage NG21; Farbmétrik-Systeme ORS18 & ORS18input: olv* setrgbcolor

D65: Koordinatensysteme; 5stufige Farbreihen für 10 Bunttöne output: Startup (S) data dependend

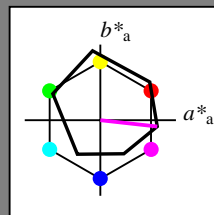
Eingabe: Farbmatisches Offset-Reflektiv-System ORS18

für Buntton $h^* = lab \cdot h = 354/360 = 0.982$ $lab \cdot tch$ und $lab \cdot nch$

D65: Buntton M

LCH*Ma: 48 76 354

olv*Ma: 1.0 0.0 1.0



ORS18; adaptierte CIELAB-Daten

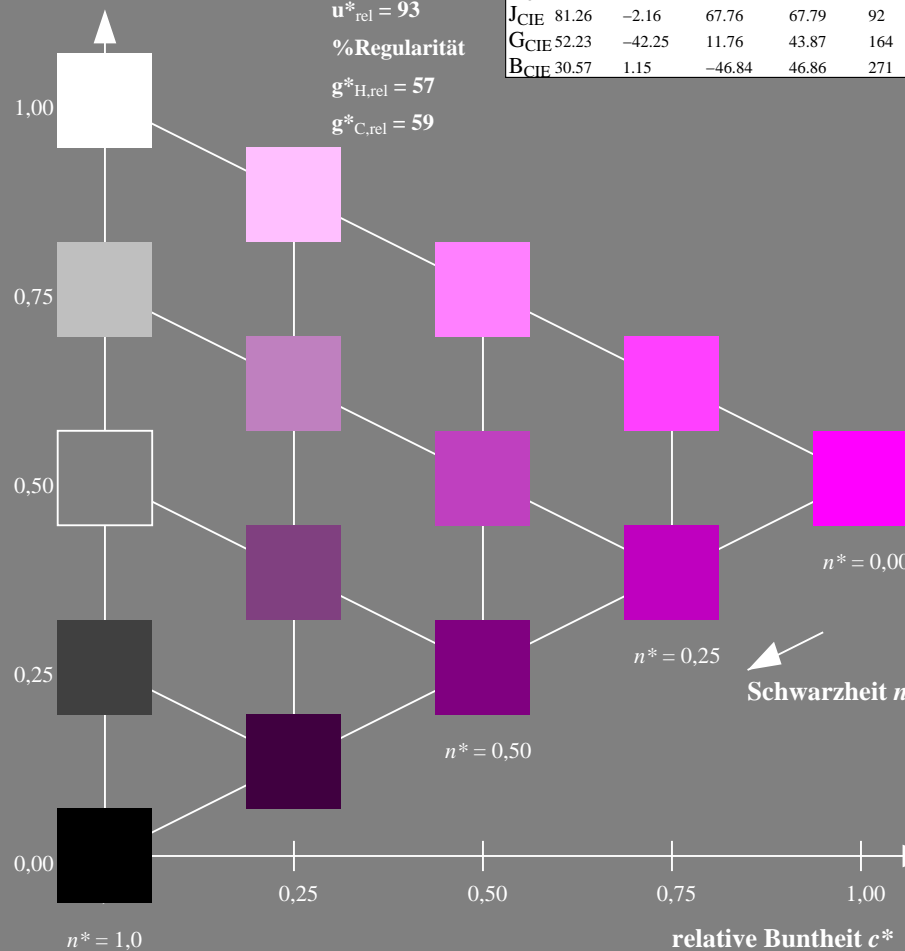
	$L^*=L^*_a$	a^*_a	b^*_a	$C^*_{ab,a}$	$h^*_{ab,a}$
O _m	47.94	65.39	50.52	82.63	38
Y _m	90.37	-10.26	91.75	92.32	96
L _m	50.9	-62.83	34.96	71.91	151
C _m	58.62	-30.34	-45.01	54.3	236
V _m	25.72	31.1	-44.4	54.22	305
M _m	48.13	75.28	-8.36	75.74	354
N _m	18.01	0.0	0.0	0.0	0
W _m	95.41	0.0	0.0	0.0	0
R _{CIE}	39.92	58.66	26.98	64.57	25
J _{CIE}	81.26	-2.16	67.76	67.79	92
G _{CIE}	52.23	-42.25	11.76	43.87	164
B _{CIE}	30.57	1.15	-46.84	46.86	271

Dreiecks-Helligkeit t^*

%Umfang

 $u^*_{rel} = 93$

%Regularität

 $g^*_{H,rel} = 57$ $g^*_{C,rel} = 59$ 

NG210-7, 5 stufige Reihen für konstanten CIELAB Buntton 354/360 = 0.982 (links)

BAM-Prüfvorlage NG21; Farbmatrik-Systeme ORS18 & ORS18input: olv* setrgbcolor

D65: Koordinatensysteme; 5stufige Farbreihen für 10 Bunttöne output: Startup (S) data dependend

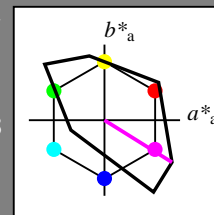
Ausgabe: Farbmatisches Fernseh-Licht-System TLS18

für Buntton $h^* = lab \cdot h = 328/360 = 0.911$ $LAB \cdot LCH$, $LAB \cdot NCH$

D65: Buntton M

LCH*Ma: 59 105 328

olv*Ma: 1.0 0.0 1.0



TLS18; adaptierte CIELAB-Daten

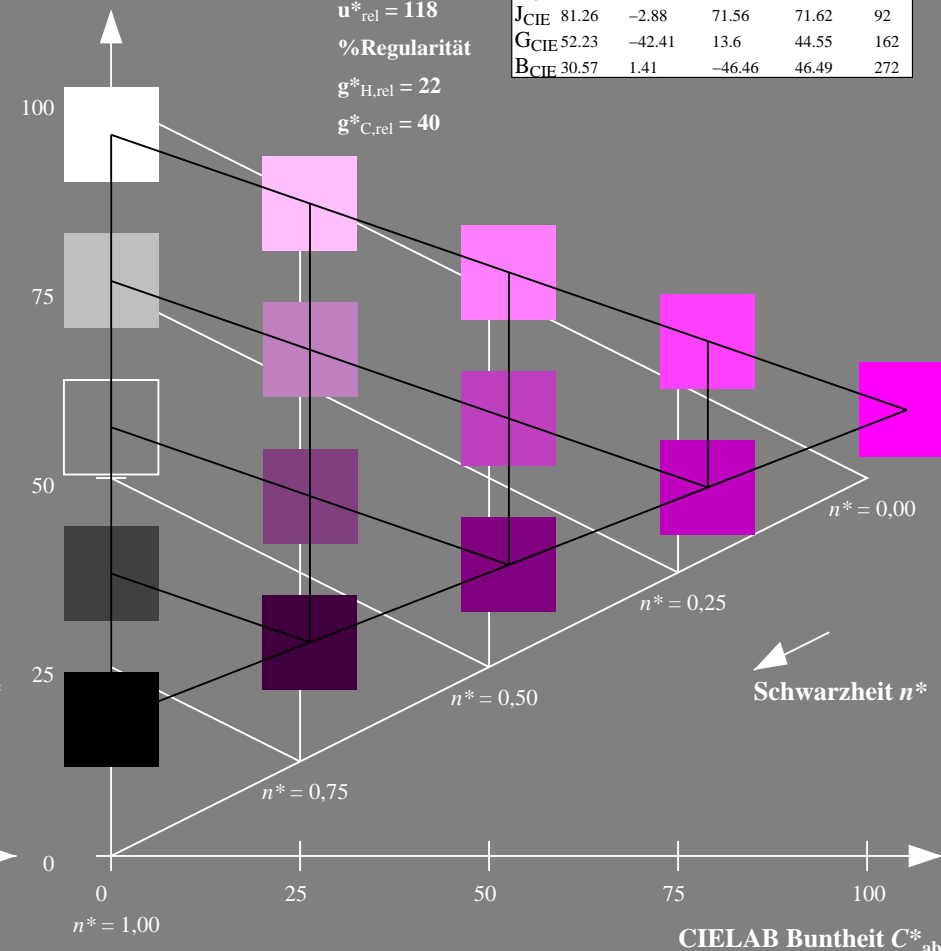
	$L^*=L^*_a$	a^*_a	b^*_a	$C^*_{ab,a}$	$h^*_{ab,a}$
O _m	52.76	71.63	49.88	87.29	35
Y _m	92.74	-20.02	84.97	87.3	103
L _m	84.0	-78.98	73.94	108.2	137
C _m	87.14	-44.41	-13.11	46.32	196
V _m	35.47	64.92	-95.06	115.12	304
M _m	59.01	89.33	-55.67	105.26	328
N _m	18.01	0.0	0.0	0.0	0
W _m	95.41	0.0	0.0	0.0	0
R _{CIE}	39.92	58.74	27.99	65.07	25
J _{CIE}	81.26	-2.88	71.56	71.62	92
G _{CIE}	52.23	-42.41	13.6	44.55	162
B _{CIE}	30.57	1.41	-46.46	46.49	272

CIELAB-Helligkeit L^*

%Umfang

 $u^*_{rel} = 118$

%Regularität

 $g^*_{H,rel} = 22$ $g^*_{C,rel} = 40$ 

5 stufige Reihen für konstanten CIELAB Buntton 328/360 = 0.911 (rechts)

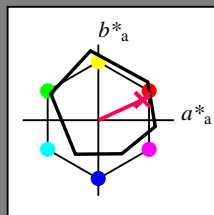
Eingabe: Farbmatisches Offset-Reflektiv-System ORS18

für Buntton $h^* = lab^*h = 25/360 = 0.069$ lab^*tch und lab^*nch

D65: Buntton R

LCH*Ma: 48 75 25

olv*Ma: 1.0 0.0 0.32



ORS18; adaptierte CIELAB-Daten

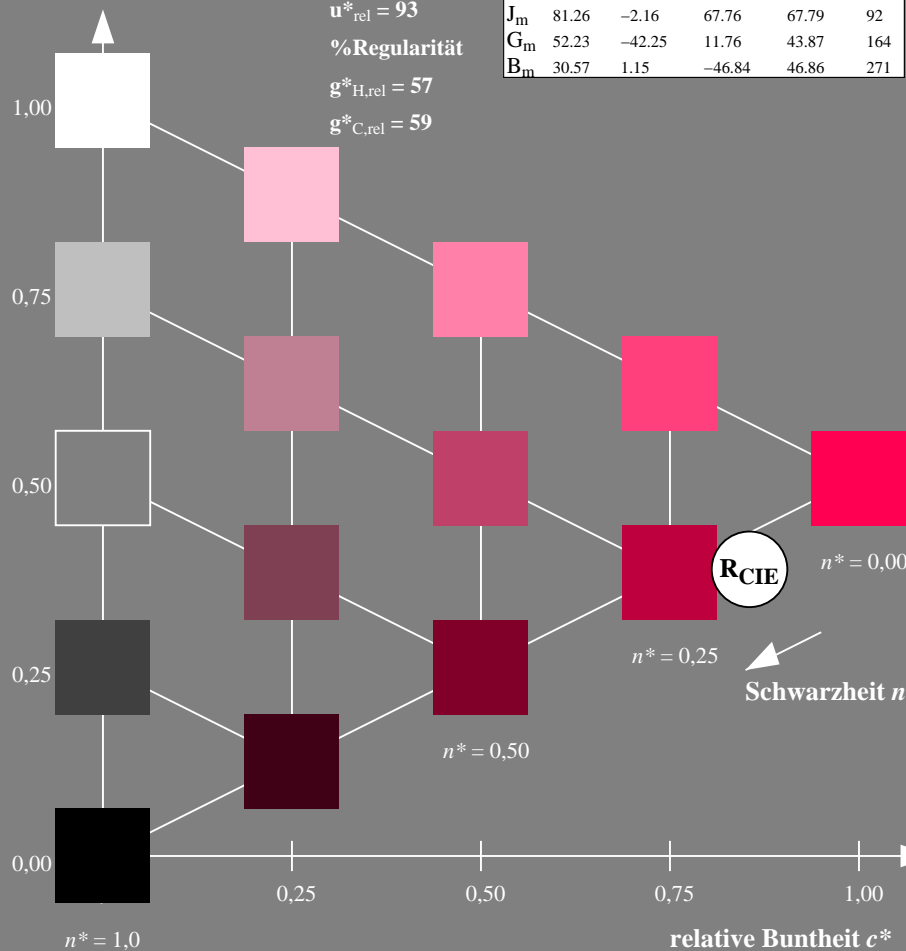
	$L^*=L^*_a$	a^*_a	b^*_a	$C^*_{ab,a}$	$h^*_{ab,a}$
O _m	47.94	65.39	50.52	82.63	38
Y _m	90.37	-10.26	91.75	92.32	96
L _m	50.9	-62.83	34.96	71.91	151
C _m	58.62	-30.34	-45.01	54.3	236
V _m	25.72	31.1	-44.4	54.22	305
M _m	48.13	75.28	-8.36	75.74	354
N _m	18.01	0.0	0.0	0.0	0
W _m	95.41	0.0	0.0	0.0	0
R _m	39.92	58.66	26.98	64.57	25
J _m	81.26	-2.16	67.76	67.79	92
G _m	52.23	-42.25	11.76	43.87	164
B _m	30.57	1.15	-46.84	46.86	271

Dreiecks-Helligkeit t^*

%Umfang

 $u^*_{rel} = 93$

%Regularität

 $g^*_{H,rel} = 57$ $g^*_{C,rel} = 59$ 

NG210-7, 5 stufige Reihen für konstanten CIELAB Buntton 25/360 = 0.069 (links)

BAM-Prüfvorlage NG21; Farbmatrik-Systeme ORS18 & ORS18input: olv* setrgbcolor

D65: Koordinatensysteme; 5stufige Farbreihen für 10 Bunttöne output: Startup (S) data dependend

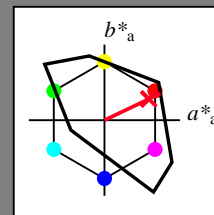
Ausgabe: Farbmatisches Fernseh-Licht-System TLS18

für Buntton $h^* = lab^*h = 25/360 = 0.071$ LAB^*LCH, LAB^*NCH

D65: Buntton R

LCH*Ma: 54 82 25

olv*Ma: 1.0 0.0 0.14



TLS18; adaptierte CIELAB-Daten

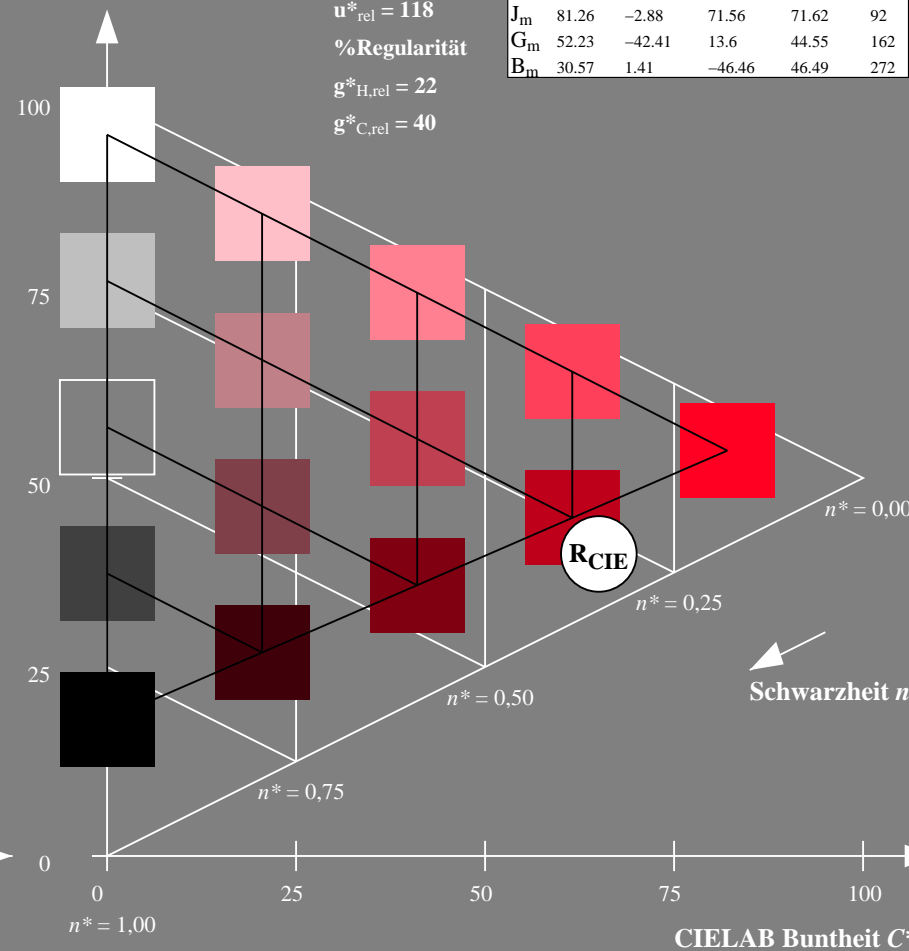
	$L^*=L^*_a$	a^*_a	b^*_a	$C^*_{ab,a}$	$h^*_{ab,a}$
O _m	52.76	71.63	49.88	87.29	35
Y _m	92.74	-20.02	84.97	87.3	103
L _m	84.0	-78.98	73.94	108.2	137
C _m	87.14	-44.41	-13.11	46.32	196
V _m	35.47	64.92	-95.06	115.12	304
M _m	59.01	89.33	-55.67	105.26	328
N _m	18.01	0.0	0.0	0.0	0
W _m	95.41	0.0	0.0	0.0	0
R _m	39.92	58.74	27.99	65.07	25
J _m	81.26	-2.88	71.56	71.62	92
G _m	52.23	-42.41	13.6	44.55	162
B _m	30.57	1.41	-46.46	46.49	272

CIELAB-Helligkeit L^*

%Umfang

 $u^*_{rel} = 118$

%Regularität

 $g^*_{H,rel} = 22$ $g^*_{C,rel} = 40$ 

5 stufige Reihen für konstanten CIELAB Buntton 25/360 = 0.071 (rechts)

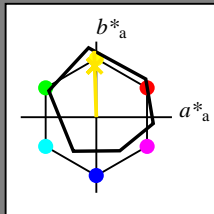
Eingabe: Farbmatisches Offset-Reflektiv-System ORS18

für Buntton $h^* = lab^*h = 92/360 = 0.255$ lab^*tch und lab^*nch

D65: Buntton J

LCH*Ma: 86 88 92

olv*Ma: 1.0 0.9 0.0



ORS18; adaptierte CIELAB-Daten

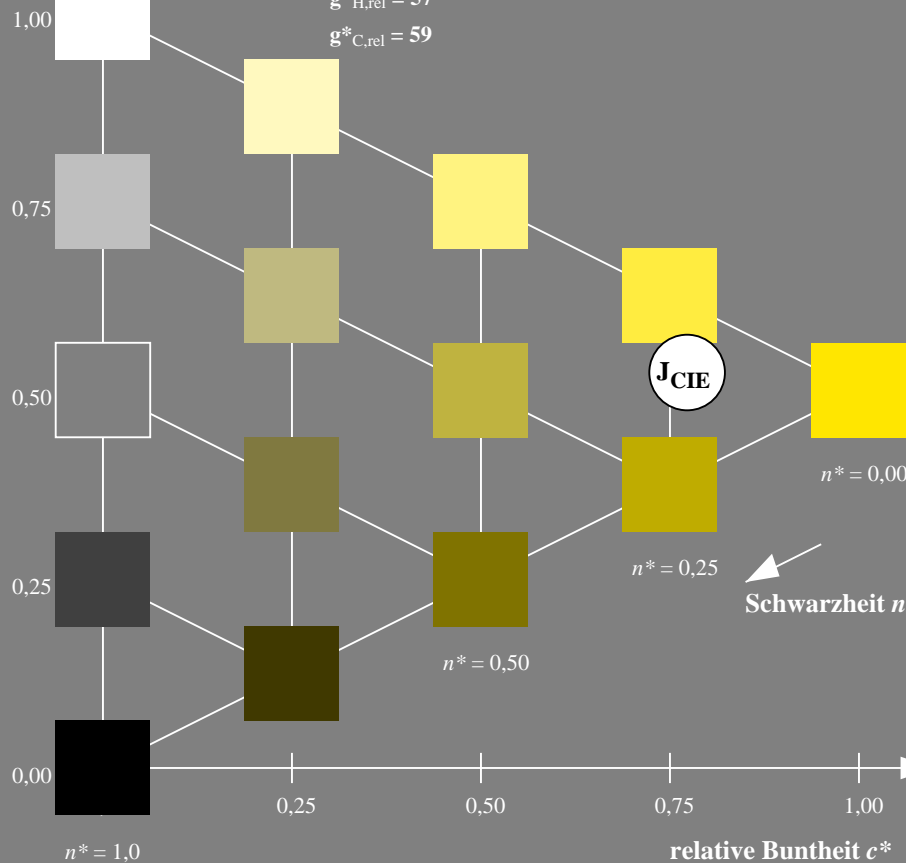
	$L^*=L^*_a$	a^*_a	b^*_a	$C^*_{ab,a}$	$h^*_{ab,a}$
O _m	47.94	65.39	50.52	82.63	38
Y _m	90.37	-10.26	91.75	92.32	96
L _m	50.9	-62.83	34.96	71.91	151
C _m	58.62	-30.34	-45.01	54.3	236
V _m	25.72	31.1	-44.4	54.22	305
M _m	48.13	75.28	-8.36	75.74	354
N _m	18.01	0.0	0.0	0.0	0
W _m	95.41	0.0	0.0	0.0	0
R _m	39.92	58.66	26.98	64.57	25
J _m	81.26	-2.16	67.76	67.79	92
G _m	52.23	-42.25	11.76	43.87	164
B _m	30.57	1.15	-46.84	46.86	271

Dreiecks-Helligkeit t^*

%Umfang

 $u^*_{rel} = 93$

%Regularität

 $g^*_{H,rel} = 57$ $g^*_{C,rel} = 59$ NG210-7, 5 stufige Reihen für konstanten CIELAB Buntton $92/360 = 0.255$ (links)

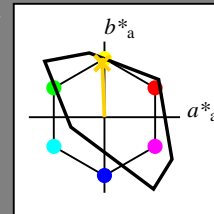
Ausgabe: Farbmatisches Fernseh-Licht-System TLS18

für Buntton $h^* = lab^*h = 92/360 = 0.256$ LAB^*LCH, LAB^*NCH

D65: Buntton J

LCH*Ma: 85 79 92

olv*Ma: 1.0 0.82 0.0



TLS18; adaptierte CIELAB-Daten

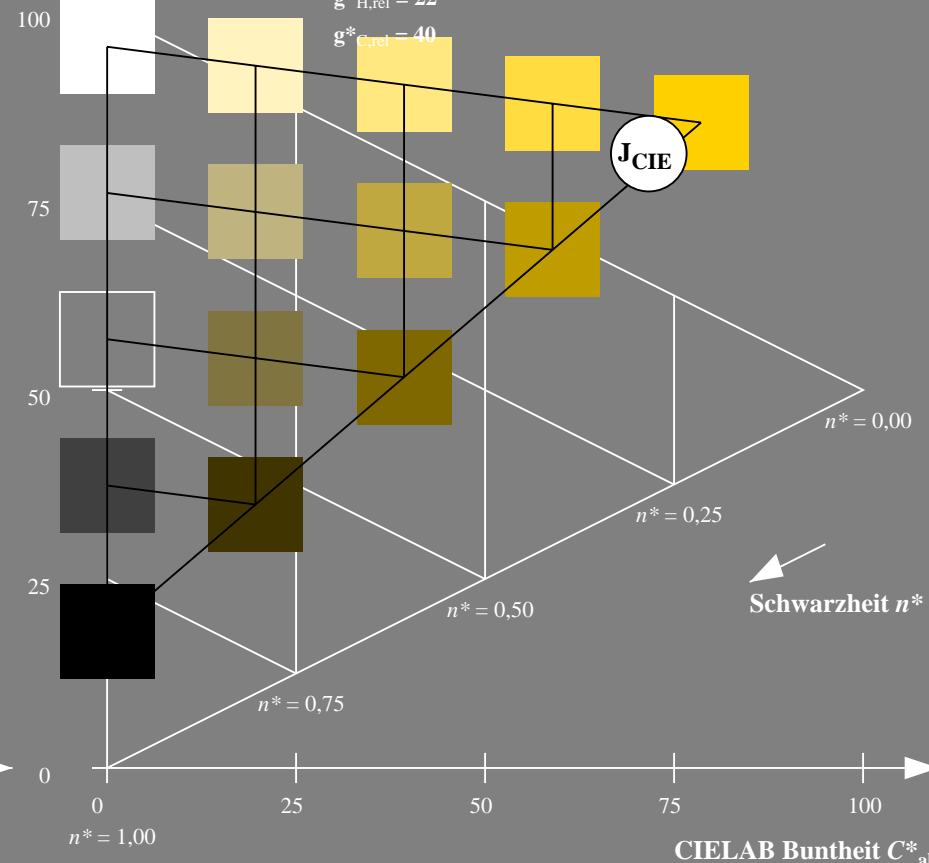
	$L^*=L^*_a$	a^*_a	b^*_a	$C^*_{ab,a}$	$h^*_{ab,a}$
O _m	52.76	71.63	49.88	87.29	35
Y _m	92.74	-20.02	84.97	87.3	103
L _m	84.0	-78.98	73.94	108.2	137
C _m	87.14	-44.41	-13.11	46.32	196
V _m	35.47	64.92	-95.06	115.12	304
M _m	59.01	89.33	-55.67	105.26	328
N _m	18.01	0.0	0.0	0.0	0
W _m	95.41	0.0	0.0	0.0	0
R _m	39.92	58.74	27.99	65.07	25
J _m	81.26	-2.88	71.56	71.62	92
G _m	52.23	-42.41	13.6	44.55	162
B _m	30.57	1.41	-46.46	46.49	272

CIELAB-Helligkeit L^*

%Umfang

 $u^*_{rel} = 118$

%Regularität

 $g^*_{H,rel} = 22$ $g^*_{C,rel} = 40$ 5 stufige Reihen für konstanten CIELAB Buntton $92/360 = 0.256$ (rechts)

BAM-Prüfvorlage NG21; Farbmatrik-Systeme ORS18 & ORS18input: olv* setrgbcolor

D65: Koordinatensysteme; 5stufige Farbreihen für 10 Bunttöne output: Startup (S) data dependend

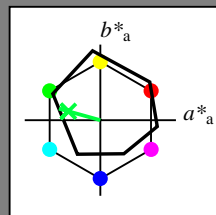
Eingabe: Farbmétrisches Offset-Reflektiv-System ORS18

für Buntton $h^* = lab \cdot h = 164/360 = 0.457$ $lab \cdot tch$ und $lab \cdot nch$

D65: Buntton G

LCH*Ma: 53 57 164

olv*Ma: 0.0 1.0 0.25



ORS18; adaptierte CIELAB-Daten

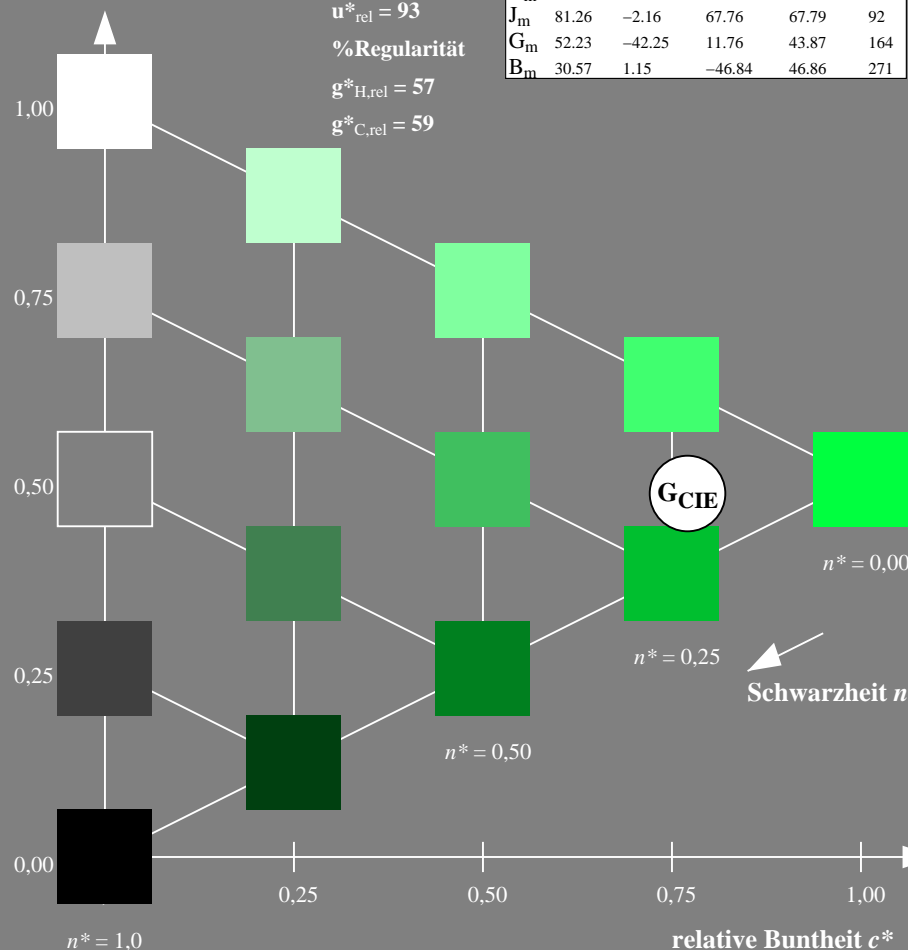
	$L^*=L^*_a$	a^*_a	b^*_a	$C^*_{ab,a}$	$h^*_{ab,a}$
O _m	47.94	65.39	50.52	82.63	38
Y _m	90.37	-10.26	91.75	92.32	96
L _m	50.9	-62.83	34.96	71.91	151
C _m	58.62	-30.34	-45.01	54.3	236
V _m	25.72	31.1	-44.4	54.22	305
M _m	48.13	75.28	-8.36	75.74	354
N _m	18.01	0.0	0.0	0.0	0
W _m	95.41	0.0	0.0	0.0	0
R _m	39.92	58.66	26.98	64.57	25
J _m	81.26	-2.16	67.76	67.79	92
G _m	52.23	-42.25	11.76	43.87	164
B _m	30.57	1.15	-46.84	46.86	271

Dreiecks-Helligkeit t^*

%Umfang

 $u^*_{rel} = 93$

%Regularität

 $g^*_{H,rel} = 57$ $g^*_{C,rel} = 59$ 

NG210-7, 5 stufige Reihen für konstanten CIELAB Buntton 164/360 = 0.457 (links)

BAM-Prüfvorlage NG21; Farbmétrik-Systeme ORS18 & ORS18input: olv* setrgbcolor

D65: Koordinatensysteme; 5stufige Farbreihen für 10 Bunttöne output: Startup (S) data dependend

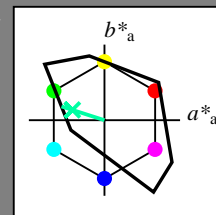
Ausgabe: Farbmétrisches Fernseh-Licht-System TLS18

für Buntton $h^* = lab \cdot h = 162/360 = 0.451$ $LAB \cdot LCH$, $LAB \cdot NCH$

D65: Buntton G

LCH*Ma: 86 60 162

olv*Ma: 0.0 1.0 0.64



TLS18; adaptierte CIELAB-Daten

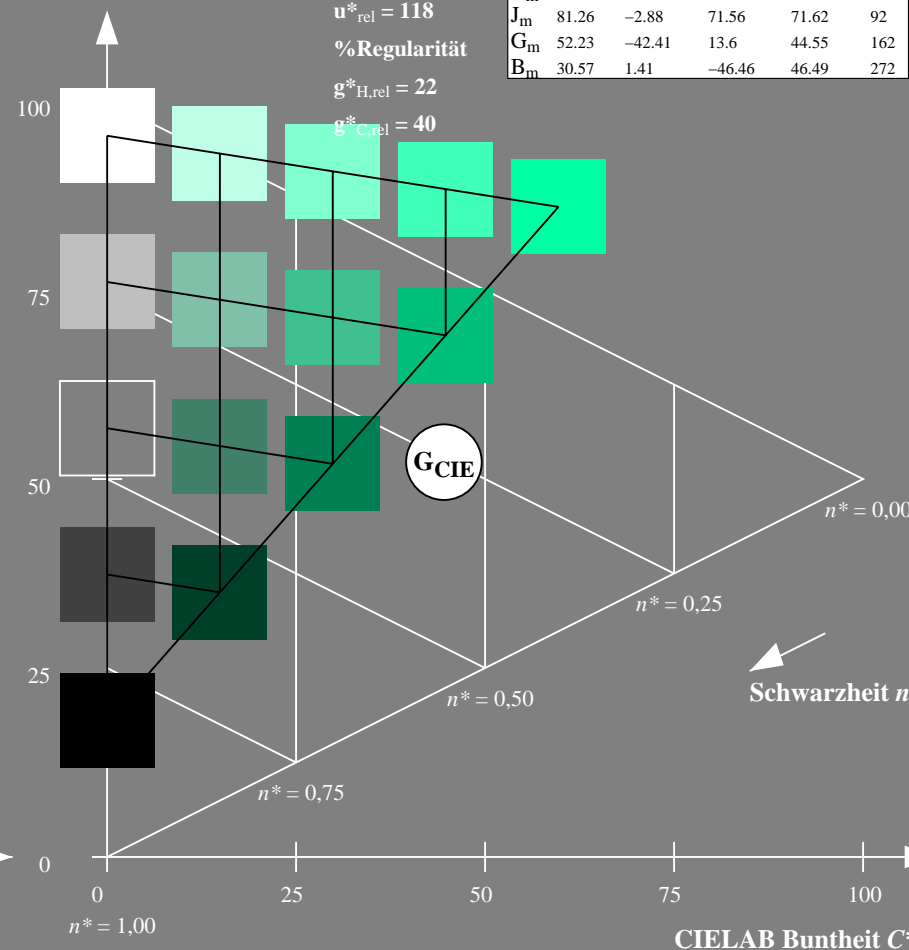
	$L^*=L^*_a$	a^*_a	b^*_a	$C^*_{ab,a}$	$h^*_{ab,a}$
O _m	52.76	71.63	49.88	87.29	35
Y _m	92.74	-20.02	84.97	87.3	103
L _m	84.0	-78.98	73.94	108.2	137
C _m	87.14	-44.41	-13.11	46.32	196
V _m	35.47	64.92	-95.06	115.12	304
M _m	59.01	89.33	-55.67	105.26	328
N _m	18.01	0.0	0.0	0.0	0
W _m	95.41	0.0	0.0	0.0	0
R _m	39.92	58.74	27.99	65.07	25
J _m	81.26	-2.88	71.56	71.62	92
G _m	52.23	-42.41	13.6	44.55	162
B _m	30.57	1.41	-46.46	46.49	272

CIELAB-Helligkeit L^*

%Umfang

 $u^*_{rel} = 118$

%Regularität

 $g^*_{H,rel} = 22$ $g^*_{C,rel} = 40$ 

5 stufige Reihen für konstanten CIELAB Buntton 162/360 = 0.451 (rechts)

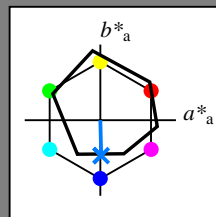
Eingabe: Farbmatisches Offset-Reflektiv-System ORS18

für Buntton $h^* = lab^*h = 271/360 = 0.754$ lab^*tch und lab^*nch

D65: Buntton B

LCH*Ma: 42 45 271

olv*Ma: 0.0 0.49 1.0

Dreiecks-Helligkeit t^* 

%Umfang

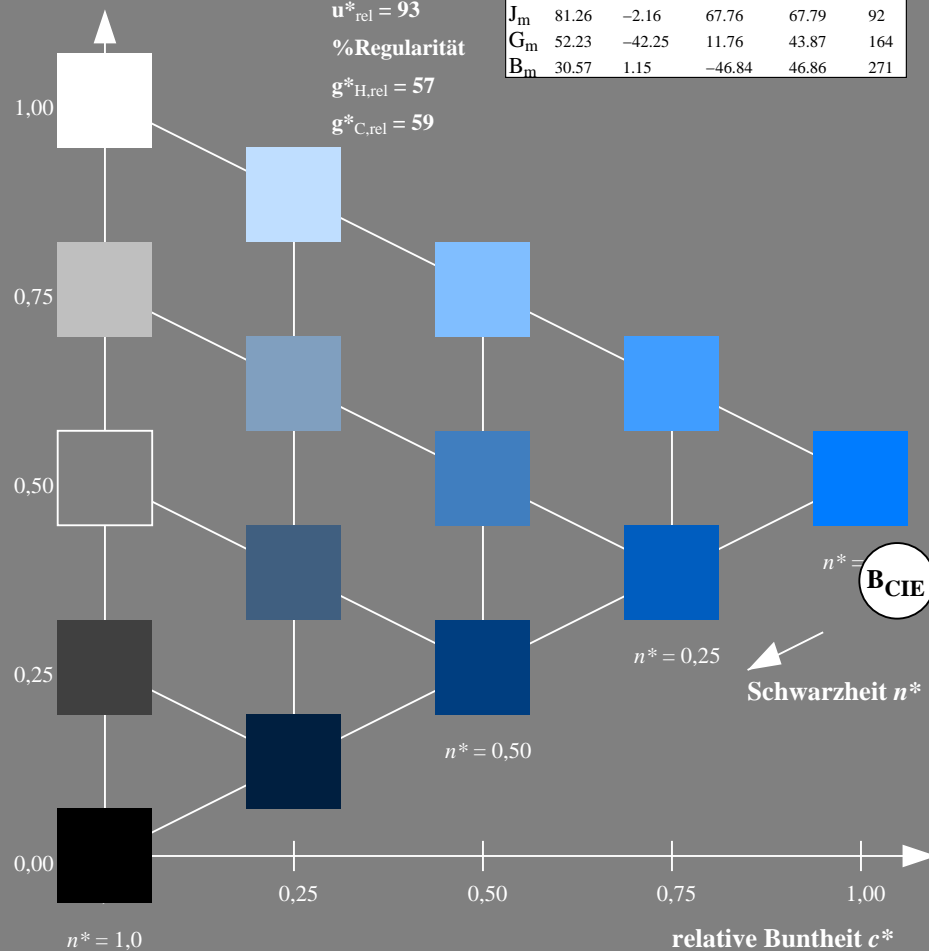
 $u^*_{rel} = 93$

%Regularität

 $g^*_{H,rel} = 57$ $g^*_{C,rel} = 59$

ORS18; adaptierte CIELAB-Daten

	$L^*=L^*_a$	a^*_a	b^*_a	$C^*_{ab,a}$	$h^*_{ab,a}$
O _m	47.94	65.39	50.52	82.63	38
Y _m	90.37	-10.26	91.75	92.32	96
L _m	50.9	-62.83	34.96	71.91	151
C _m	58.62	-30.34	-45.01	54.3	236
V _m	25.72	31.1	-44.4	54.22	305
M _m	48.13	75.28	-8.36	75.74	354
N _m	18.01	0.0	0.0	0.0	0
W _m	95.41	0.0	0.0	0.0	0
R _m	39.92	58.66	26.98	64.57	25
J _m	81.26	-2.16	67.76	67.79	92
G _m	52.23	-42.25	11.76	43.87	164
B _m	30.57	1.15	-46.84	46.86	271

NG210-7, 5 stufige Reihen für konstanten CIELAB Buntton $271/360 = 0.754$ (links)

BAM-Prüfvorlage NG21; Farbmatrik-Systeme ORS18 & ORS18input: olv* setrgbcolor

D65: Koordinatensysteme; 5stufige Farbreihen für 10 Bunttöne output: Startup (S) data dependend

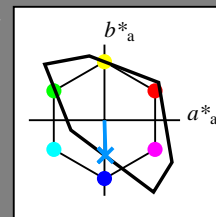
Ausgabe: Farbmatisches Fernseh-Licht-System TLS18

für Buntton $h^* = lab^*h = 272/360 = 0.755$ LAB^*LCH, LAB^*NCH

D65: Buntton B

LCH*Ma: 65 48 272

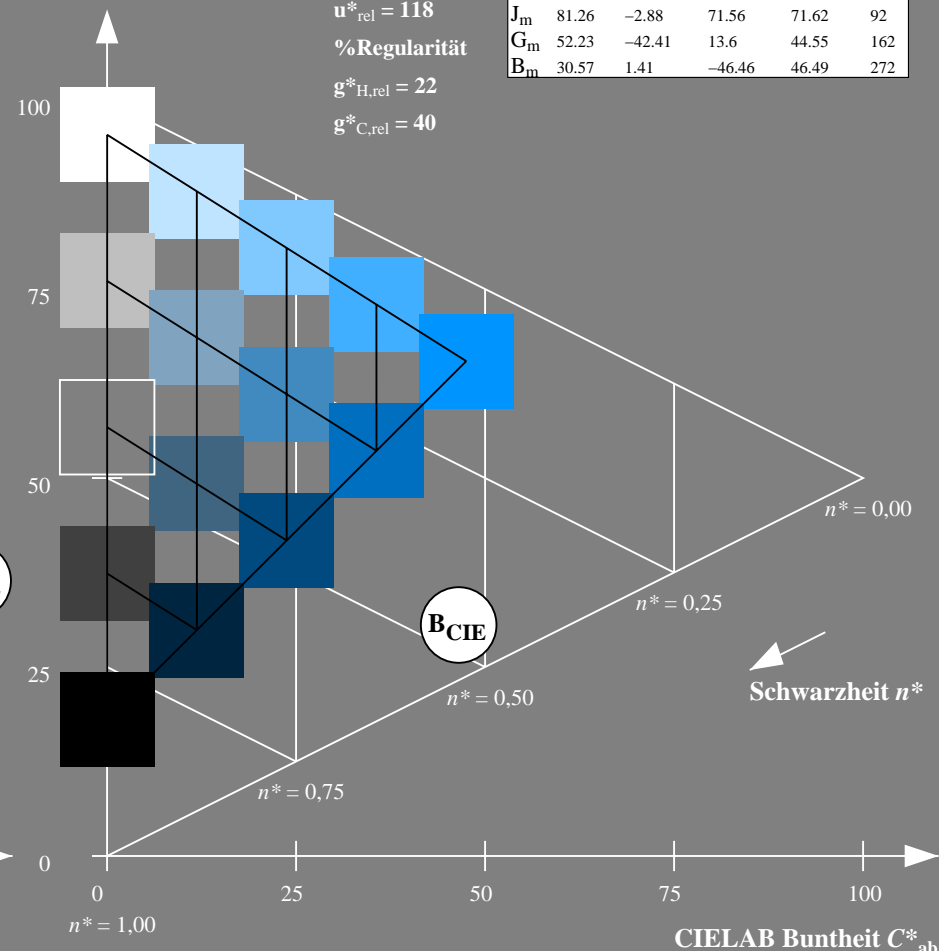
olv*Ma: 0.0 0.58 1.0

CIELAB-Helligkeit L^* 

%Umfang

 $u^*_{rel} = 118$

%Regularität

 $g^*_{H,rel} = 22$ $g^*_{C,rel} = 40$ 5 stufige Reihen für konstanten CIELAB Buntton $272/360 = 0.755$ (rechts)